

HUBUNGAN KUANTITATIF STRUKTUR DAN AKTIVITAS SENYAWA TURUNAN BENZIMIDAZOL TERTAUTKAN 1,2,3-TRIAZOL SEBAGAI INHIBITOR ENZIM α -GLUKOSIDASE

Intan Nurkholidah, Anita Puspa Widiyana, Yoni Rina Bintari

Corresponding author:

Intan Nurkholidah
Fakultas Kedokteran Universitas
Islam Malang

Anita Puspa Widiyana
Fakultas Kedokteran Universitas
Islam Malang

Yoni Rina Bintari
Fakultas Kedokteran Universitas
Islam Malang

DOI**Histori Artikel**

Received :02-04-2023
Reviewed :03-05-2023
Accepted :16-05-2023
Published :25-05-2023

Kata Kunci

Benzimidazol; Triazol; HKSA;
Enzim α -glukosidase

PENDAHULUAN

Diabetes mellitus merupakan penyakit gangguan metabolismik yang ditandai gula darah lebih dari normal (Magdalena & Nurarifin, 2021).

International Diabetes Federation (IDF) melaporkan terdapat 463 juta orang pada usia 20-79 tahun di dunia menderita diabetes mellitus pada tahun 2019 dengan prevalensi sebesar 9,3% pada total penduduk pada usia yang sama. IDF memperkirakan prevalensi diabetes, berdasarkan jenis kelamin pada tahun 2019 yaitu 9% pada perempuan dan 9,65% pada laki-laki (Jais *et al.*, 2021). Di Indonesia, diabetes permasalahan kesehatan yang cukup serius karena peningkatan jumlah penderita di setiap tahunnya berbanding lurus dengan bertambahnya jumlah penduduk,

pertambahan usia, meningkatnya gaya hidup tidak sehat, pola makan tidak sehat, diet yang tidak sehat dan obesitas (Nasution *et al.*, 2021). Pengobatan diabetes mellitus dengan antidiabetes terdapat beberapa golongan yaitu menggunakan insulin, sulfonilurea, atau lainnya (Dahlén *et al.*, 2021). Namun, golongan obat yang sesuai untuk tindakan pencegahan diabetes komplikasi dan mengontrol kadar gula darah yaitu inhibitor α -glukosidase (Liu *et al.*, 2021). Inhibitor α -glukosidase bekerja dengan menghambat enzim α -glukosidase yang berperan sebagai katalisator hidrolisis ikatan α -(1,4)-glikosidik glukosa pada proses hidrolisis pati dan disakarida menjadi glukosa, monosakarida bebas (α -D-glukosa) akan dilepas pada akhir glukosa dicerna. Sehingga dengan penghambatan enzim α -glukosidase dapat memperlambat proses pencernaan dan penyerapan karbohidrat di usus halus (Dahlén *et al.*, 2021;

Adinortey *et al.*, 2022).

Aktivitas Inhibitor α -glukosidase membantu terapi pengobatan pada pasien penderita diabetes mellitus sehingga diperlukan penelitian penemuan obat baru. Penelitian Deswal *et al.* (2020) melaporkan senyawa yang berpotensi menjadi inhibitor α -glukosidase yaitu senyawa turunan Benzimidazol tautan 1,2,3-Triazol. Senyawa tersebut terdiri dari dua struktur yang tautan yaitu benzimidazol dan 1,2,3-triazol. Senyawa benzimidazol atau disebut 1H-benzimidazol and 1,3-benzodiazol terdiri atas cincin benzena yang menyatu dengan cincin imidazol segilima dan memiliki atom nitrogen yang terikat pada cincin imidazolnya (Brishty *et al.*, 2021). Benzimidazol disintesis dari hidrolisis asam vitamin B-12 oleh Norman GB and Karl Folker tahun 1949, yang menghasilkan produk degradasi 5, 6-dimetil benzimidazole (Pathare *et al.*, 2021). Benzimidazol memiliki aktivitas sebagai antidiabetes, antihipertensi, antikanker, dan sebagainya (Brishty *et al.*, 2021; Pathare *et al.*, 2021). Kemudian senyawa triazol, triazol berbentuk heterosiklik nitrogen yang mengandung tiga atom nitrogen dan dua karbon (Dai *et al.*, 2022). Sedangkan 1,2,3-Triazol terbentuk dari cincin heterosiklik nitrogen tak jenuh, aromatik, beranggota lima, p-berlebih dengan sistem cincin elektron 6p, terdiri dari tiga nitrogen reguler dan dua atom karbon dengan dua ikatan rangkap. Dari tiga atom nitrogen, satu adalah tipe pirol dan dua lainnya adalah tipe piridin. Semua atom dalam 1,2,3-triazol adalah hibridisasi sp^2 dan elektron 6p yang terdelokalisasi di sekitar cincin (Nemallapudi *et al.*, 2020). Triazol memiliki banyak aktivitas diantaranya sebagai antidiabetes, antikanker, antivirus, dan sebagainya (Seck & Nguemo, 2021).

Hubungan Kuantitatif Struktur-Aktivitas (HKSA) atau *Quantitative Structure-Activity Relationship* (QSAR) merupakan salah satu aplikasi kimia komputasi yang berkembang cukup pesat dengan diawali pemodelan QSAR klasik yang menjabarkan aktivitas biologis sebagai fungsi dari parameter kimia fisika dan sifat sterik (Analisis Hansch) atau pendekatan struktur molekul (Analisis Free Wilson) (Tahir *et al.*, 2012). HKSA banyak dipilih karena parameter yang dihitung hanya elektron valensi atom-atomnya sehingga waktu analisinya relatif singkat. Teknik tersebut menggunakan data algoritma statistika yang secara kuantitatif menentukan perbedaan antara aktivitas senyawa dengan perubahan deskriptor tiap molekulnya. Deskriptor tersebut dapat dinyatakan sebagai angka yang merupakan transformasi dari struktur molekuler (Asmara *et*

al., 2015).

Penelitian ini bertujuan untuk mendapatkan persamaan HKSA paling baik dari rancangan senyawa penelitian Deswal *et al.* (2020) yaitu turunan benzimidazol tautan 1,2,3-triazol dengan menghubungkan parameter hidrofobik ($LogP$ dan $Log S$), elektronik (E_{tot} dan E_{Homo}) dan sterik (Berat Molekul dan Volume Van Der Walls) dengan dihubungkan aktivitasnya sebagai inhibitor enzim α -Glukosidase.

METODE PELAKSANAAN

Perangkat keras atau hardware yang digunakan adalah HP Laptop Model 14s-cf2075TU dengan processor Intel(R) Core(TM) i3-10110U CPU @ 2.10GHz 2.59 GHz, sistem operasi Windows 10 Home Single Language, dan RAM 4,00 GB. Perang lunak atau software yang digunakan yaitu ChemDraw dan ChemDraw 3D dari PerkinElmer untuk preparasi sampel senyawa turunan Benzimidazol tautan 1,2,3-Triazol dan IBM SPSS Statistics 25.0 untuk pengolahan data HKSA. ChemDraw untuk memvisualisasikan sampel senyawa turunan Benzimidazol tautan 1,2,3-Triazol dalam bentuk 2D, sedangkan ChemDraw 3D untuk memvisualisasikan sampel senyawa turunan Benzimidazol tautan 1,2,3-Triazol dalam bentuk 3D. SPSS untuk analisis persamaan HKSA.

a. Persiapan Sampel Senyawa

Sketsa struktur senyawa 2D dibuat menggunakan ChemDraw 2D dari ChemDraw Office, hasil sketsa struktur senyawa 2D divisualisasikan ke 3D menggunakan ChemDraw 3D dari ChemDraw Office. Pensketasan senyawa 2D menggunakan metode top list dengan sampel dari penelitian Deswal *et al.* (2020) yaitu senyawa turunan Benzimidazol tautan 1,2,3-Triazol. Hasil visualisasi 2D disimpan dalam bentuk .cdx dan hasil visualisasi 3D disimpan dalam bentuk .mol2, .sdf, dan png.

b. Preparasi Parameter HKSA

Parameter hidrofobik berhubungan dengan penembusan senyawa pada membran sel sehingga menunjukkan kemudahan obat dimetabolisme dan dieliminasi (Jhanwar *et al.*, 2011; Siswandono & Widiandani, 2016). Parameter hidrofobik yang dipilih yaitu $Log P$ (Logaritma koefisien partisi) dan $Log S$ (Koefisien kelarutan dalam air) yang diperoleh dari website *online* ADMET Lab 2.0 (<https://admetmesh.scbdd.com/>) dari senyawa turunan Benzimidazol tautan 1,2,3-Triazol.

Parameter elektronik berhubungan dengan reaksi yang terjadi pada obat (Jhanwar *et al.*, 2011). Parameter elektronik yang dipilih yaitu E_{tot} (Energi minimum konformasi molekul paling stabil) dan E_{Homo} (Total energi donor elektron molekul), yang diperoleh dari ChemDraw 3D dari senyawa turunan Benzimidazol tautan 1,2,3-Triazol (Siswandono & Widiandani, 2016).

Parameter sterik berhubungan dengan interaksi ligan-reseptor dan fenomena transportasi senyawa dalam sistem seluler (Jhanwar *et al.*, 2011). Parameter sterik yang dipilih yaitu MW atau BM (*Molecular weight* atau berat

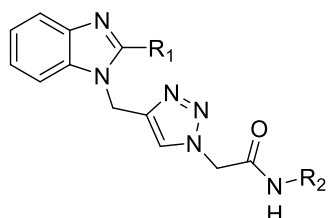
molekul) dan Vw (Volume van der Waal's), yang diperoleh dari website *online* ADMET Lab 2.0 (<https://admetmesh.scbdd.com/>) dari senyawa turunan Benzimidazol tautan 1,2,3-Triazol (Siswandono & Widiandani, 2016).

c. Analisis Persamaan HKSA

Analisis statistik dalam HKSA model Hansch digunakan software IBM SPSS 25.0. Analisis korelasi menggunakan regresi linier untuk mencari hubungan antara aktivitas inhibitor α -glukosidase (-LogIC50) dengan parameter HKSA dari senyawa turunan Benzimidazol tautan 1,2,3-Triazol (16). Analisis MLR melibatkan 2 variabel yaitu, variabel bebas dan variabel terikat. Variabel bebas berupa parameter HKSA (LogP, LogS, E_{tot}, E_{HOMO}, MW, dan Vw). Variabel terikat berupa aktivitas inhibitor α -glukosidase (-LogIC50) senyawa turunan Benzimidazol tautan 1,2,3-Triazol yang diperoleh dari penelitian Deswal *et al.* (2020) (Tahir *et al.*, 2012).

HASIL DAN PEMBAHASAN

a. Sampel Senyawa Turunan Benzimidazol Tautan 1,2,3-Triazol



{4-[(1H-benzoimidazol-1-yl)methyl]-1H-1,2,3-triazol-1-yl}-acetamides

Gambar 1. Senyawa turunan Benzimidazol tautan 1,2,3-Triazol pada penelitian Deswal *et al.* (2020)

Senyawa turunan Benzimidazol tautan 1,2,3-Triazol ditemukan dari penelitian Deswal *et al.* (2020) yang ditunjukkan dari dua pita serapan *Infrared* yaitu, 1,600–1,620 cm⁻¹ (Amida I) dan 1,680–1,695 cm⁻¹ (amida II). Spektrum 1 H, puncak NH yang khas diamati pada geseran/ δ 10.29–12.29, dan singlet lain diamati karena proton triazol pada δ 8.11–8.41. Dua singlet untuk gugus metilena yang melekat pada cincin triazol N16 dan cincin triazol C13 muncul di wilayah masing-masing δ 5.25–5.49 dan 5.46–5.55. Dalam spektra senyawa ¹³C NMR, sinyal karena C13 dari gugus triazol muncul pada δ 142.94–143.48, sedangkan puncak karena C17 dari cincin triazol beresonansi pada δ 125.66–125.56. Karbon karbonil muncul pada δ 164.00–165.53. Puncak spektrum 1 H dan ¹³C dikonfirmasi dengan menghubungkannya dengan berbagai jenis

spektroskopi.

Tabel 1. Rantai Samping Senyawa turunan Benzimidazol tautan 1,2,3-Triazol dan Data -LogIC50 pada penelitian Deswal *et al.* (2020)

Kode	R1	R2	-Log IC50 (μ g/ml)
4c	-CH ₃	-2-NO ₂ C ₆ H ₄	-1.192
4e	-CH ₃	-3-FC ₆ H ₄	-0.725
4g	-CH ₃	-4-OCH ₃ C ₆ H ₄	-0.763
4h	-CH ₃	-4-FC ₆ H ₄	-0.989
4k	-SCH ₃	-2-CIC ₆ H ₄	-1.271
4l	-SCH ₃	-2-NO ₂ C ₆ H ₄	-1.221
4m	-SCH ₃	-2-CH ₃ COC ₆ H ₄	-1.117
4n	-SCH ₃	-3-FC ₆ H ₄	-0.809
4p	-SCH ₃	-4-OCH ₃ C ₆ H ₄	-0.913
4q	-SCH ₃	-4-FC ₆ H ₄	-0.997

Senyawa dipilih dari yang memiliki aktivitas inhibitor α -glukosidase paling besar yaitu, senyawa dengan nilai -LogIC50 terkecil.

b. Penentuan Sifat Kimia Fisika

Penentuan sifat kimia fisika senyawa turunan Benzimidazol tautan 1,2,3-Triazol menggunakan website *online* ADMET Lab 2.0 (<https://admetmesh.scbdd.com/>) dan ChemDraw 3D yang ditunjukkan pada tabel 1.

Tabel 1. Parameter sifat kimia fisika senyawa turunan Benzimidazol tautan 1,2,3-Triazol

Kode	Lipofilik		Elektronik		Sterik	
	Senya wa	Log P	Log S	Etot (kcal/m ol)	EHO MO (eV)	MW
4c	1.6 54	- 3.1 32	- 98.329	- 8.909	391.1 40	377.3 01
4e	1.8 80	- 2.1 75	- 49.134	- 8.950	364.1 40	357.4 28
4g	1.6 48	- 2.2 50	- 57.528	- 8.196	376.1 60	377.4 47
4h	1.7 38	- 2.2 98	- 51.682	- 8.771	364.1 40	357.4 28
4k	3.2 83	- 4.0 36	- 45.000	- 8.855	412.0 90	385.0 81
4l	2.6 59	- 4.2 90	- 67.749	- 8.878	423.1 10	395.8 10
4m	2.5 25	- 4.0 34	- 58.277	- 8.883	420.1 40	410.6 15
4n	3.1	-	17.543	-	396.1	375.9

	16	3.8	8.897	20	37	parameter x menunjukkan tidak adanya hubungan struktur-aktivitas. Namun, persamaan regresi dengan dua parameter
	66	-	-	-	395.9	x menunjukkan adanya hubungan struktur-aktivitas pada
4p	2.9	3.9	25.894	-	408.1	senyawa turunan Benzimidazol tautan 1,2,3-Triazol.
	06	32	8.898	40	56	Dari lima belas persamaan regresi yang paling terbaik
4q	2.9	3.8	19.164	-	396.1	dengan dipilih mempertimbangkan nilai r, nilai r^2 , nilai p,
	91	98	8.895	20	375.8	nilai F, dan nilai S, berikut persamaannya:

c. Prediksi Kriteria Lipinski

Lima aturan lipinski merupakan aturan praktis untuk mengevaluasi kemiripan obat dan menentukan aktivitas farmakologis atau biologis senyawa kimia dengan sifat yang dapat merubah obat menjadi aktif jika dikonsumsi per oral oleh manusia (Ivanović *et al.*, 2020). Berikut lima aturan lipinski yang menunjukkan senyawa ideal (Benet *et al.*, 2016):

- Berat molekul \leq 500 g/mol
- Nilai log P \leq 5
- Terdapat \leq 5 gugus hidrogen donor
- Terdapat \leq 10 gugus hidrogen aksesor

Penyimpangan sebanyak 2 atau lebih dari lima aturan lipinski, diprediksi senyawa tidak dapat diberikan melalui rute per oral (Lipinski *et al.*, 1997). Prediksi kriteria lipinski senyawa turunan Benzimidazol tautan 1,2,3-Triazol menggunakan website *online* ADMET Lab 2.0 (<https://admetmesh.scbdd.com/>) menunjukkan seluruh senyawa memenuhi kriteria aturan lima lipinski.

d. Analisis Hubungan Kuantitatif Struktur Aktivitas

Hubungan linieritas antara nilai -LogIC50 yang diperoleh dari penelitian Deswal *et al.* (2020) dengan parameter hidrofobik, elektronik, dan sterik. Korelasi Pearson untuk mengukur kekeratan hubungan antara variabel terikat dan variabel bebas. Nilai positif menunjukkan hubungan yang searah dengan nilai -LogIC50, sedangkan nilai negatif menunjukkan hubungan yang tidak searah atau berlawanan dengan nilai -LogIC50 (Widiyana, 2021).

Penelitian hubungan struktur-aktivitas dicapai dengan nilai $r > 0,497$; nilai r^2 menunjukkan persentase aktivitas biologis yang dapat dijelaskan hubungannya dengan parameter sifat fisikokimia; nilai p menunjukkan kemungkinan hubungan, semakin besar nilai F semakin besar derajat kemaknaan hubungan, semakin kecil kemungkinan hubungan tersebut karena kebetulan; dan standar deviasi menunjukkan nilai variasi kesalahan percobaan, semakin kecil nilai S, menunjukkan kesalahan percobaan semakin kecil (Siswandono & Widiandani, 2016).

Persamaan regresi dengan satu

$$\text{-LogIC50} = -0.308 \text{ LogP} - 0.009 \text{ Etot} + 0.196 \\ (n=15, r = 0.887; r^2 = 0.787; F = 12.954; p = 0.004; S = 0.103)$$

Persamaan menunjukkan koefisien LogP negatif artinya semakin kecil nilai LogP akan meningkatkan aktivitas inhibitor enzim α -Glukosidase dan begitu juga Etot yang memiliki koefisien negatif, sehingga semakin kecil nilai Etot akan meningkatkan aktivitas inhibitor enzim α -Glukosidase.

KESIMPULAN

Kriteria lipinski pada sepuluh senyawa menunjukkan seluruh senyawa memenuhi aturan artinya senyawa dapat diberikan melalui rute per oral. Hasil analisis hubungan kuantitatif struktur-aktivitas menunjukkan parameter hidrofobik yaitu LogP sangat berpengaruh terhadap aktivitas inhibitor enzim α -Glukosidase dan parameter elektronik yaitu Etot juga sangat mempengaruhi aktivitas turunan Benzimidazol tautan 1,2,3-Triazol sebagai inhibitor enzim α -Glukosidase.

DAFTAR RUJUKAN

- Adinortey, C. A., Kwarko, G. B., Koranteng, R., Boison, D., Obuaba, I., Wilson, M. D., & Kwofie, S. K. (2022). Molecular Structure-Based Screening of the Constituents of Calotropis procera Identifies Potential Inhibitors of Diabetes Mellitus Target Alpha Glucosidase. *Current Issues in Molecular Biology*, 44(2), 963-987. doi: <https://doi.org/10.3390/cimb44020064>.
- Asmara, A. P., Mudasir, M., & Siswanta, D. (2015). Penentuan metode komputasi untuk analisis hubungan kuantitatif struktur dan aktivitas senyawa turunan triazolopiperazin amida. *Elkawnie: Journal of Islamic Science and Technology*, 1(1), 19-30. doi: <http://dx.doi.org/10.22373/ekw.v1i1.515>.
- Benet, L. Z., Hosey, C. M., Ursu, O., & Oprea ,T. I. (2016). BDDCS, the Rule of 5 and drugability. *Advanced drug delivery reviews*, 101:89–98. doi: <https://doi.org/10.1016/j.addr.2016.05.007>.
- Brishty, S. R., Hossain, M., Khandaker, M. U., Faruque, M. R. I., Osman, H., & Rahman, S. M. (2021). A comprehensive account on recent progress in pharmacological activities of benzimidazole derivatives. *Frontiers in pharmacology*, 12, 2863. doi: <https://doi.org/10.3389/fphar.2021.762807>.

Jurnal Kesehatan Islam

- Dai, J., Tian, S., Yang, X., & Liu, Z. (2022). Synthesis methods of 1, 2, 3-/1, 2, 4-triazoles: A review. *Frontiers in Chemistry*, 10, 891484. doi: [https://doi.org/10.3389/fchem.2022.891484.](https://doi.org/10.3389/fchem.2022.891484)
- Dahlén, A. D., Dashi, G., Maslov, I., Attwood, M. M., Jonsson, J., Trukhan, V., & Schiöth, H. B. (2021). Trends in antidiabetic drug discovery: FDA approved drugs, new drugs in clinical trials and global sales. *Frontiers in pharmacology*, 12, 807548. doi: [https://doi.org/10.3389/fphar.2021.807548.](https://doi.org/10.3389/fphar.2021.807548)
- Deswal, L., Verma, V., Kumar, D., Kaushik, C. P., Kumar, A., Deswal, Y., & Punia, S. (2020). Synthesis and antidiabetic evaluation of benzimidazole-tethered 1, 2, 3-triazoles. *Archiv der Pharmazie*, 353(9), 2000090. doi: <https://doi.org/10.1002/ardp.202000090>
- Jais, M., Tahlil, T., & Susanti, S. S. (2021). Dukungan Keluarga dan Kualitas Hidup Pasien Diabetes Mellitus yang Berobat di Puskesmas. *Jurnal Keperawatan Silampari*, 5(1), 82-88. doi: <https://doi.org/10.31539/jks.v5i1.2687>.
- Jhanwar, B., Sharma, V., Singla, R. K., & Shrivastava, B. (2011). QSAR-Hansch analysis and related approaches in drug design. *Pharmacologyonline*, 1, 306-344.
- Lipinski, C. A., Lombardo, F., Dominy, B. W., & Feeney, P. J. (1997). Experimental and computational approaches to estimate solubility and permeability in drug discovery and development settings. *Advanced drug delivery reviews*, 23(1-3), 3-25. doi: [https://doi.org/10.1016/S0169-409X\(96\)00423-1](https://doi.org/10.1016/S0169-409X(96)00423-1).
- Liu, S. K., Hao, H., Bian, Y., Ge, Y. X., Lu, S., Xie, H. X., Wang, K. M., Tao, H., Yuan, C., Zhang, J., & Zhang, J. (2021). Discovery of new α -glucosidase inhibitors: Structure-based virtual screening and biological evaluation. *Frontiers in Chemistry*, 9, 639279. doi: [https://doi.org/10.3389/fchem.2021.639279.](https://doi.org/10.3389/fchem.2021.639279)
- Magdalena, R., & Nurarifin. (2021). Peran Keluarga Dalam Kepatuhan Diet Pada Penderita Diabetus melitus Pasca Promkes. *Jurnal Pengabdian Kesehatan Masyarakat Akademi Keperawatan Husada Karya Jaya*, 4(2), 5-11.
- Nasution, F., Andilala, A., & Siregar, A. A. (2021). Faktor Risiko Kejadian Diabetes Mellitus. *Jurnal Ilmu Kesehatan*, 9(2), 94-102. doi: <https://doi.org/10.32831/jik.v9i2.304>.
- Nemallapudi, B. R., Guda, D. R., Ummadi, N., Avula, B., Zyryanov, G. V., Reddy, C. S., & Gundala, S. (2020). New Methods for Synthesis of 1, 2, 3-Triazoles: A Review. *Polycyclic Aromatic Compounds*, 42(6), 3874-3892. doi: <https://doi.org/10.1080/10406638.2020.1866038>.
- Pathare, B., & Bansode, T. (2021). Biological active benzimidazole derivatives. *Results in Chemistry*, 3, 100200. doi: <https://doi.org/10.1016/j.rechem.2021.100200>.
- Seck, I., & Nguemo, F. (2021). Triazole, imidazole, and thiazole-based compounds as potential agents against coronavirus. *Results in chemistry*, 3, 100132. doi: <https://doi.org/10.1016/j.rechem.2021.100132>.
- Tahir, I., Fatimah, N. F., & Armunanto, R. (2012). Analisis Hubungan Kuantitatif Struktur dan Aktivitas Antitoksoplasma Senyawa Analog Kuinolon Menggunakan Deskriptor Teoritik. *Jurnal Berkala Ilmiah Sains dan Terapan Kimia*, 6(2), 139-153. doi: <http://dx.doi.org/10.20527/jstk.v6i2.2114>.
- Siswandono, & Widiantani, T. (2016). *Kimia Medisinal 1* (Edisi ke-2). Indonesia: Airlangga University Press.
- Ivanović, V., Rančić, M., Arsić, B., & Pavlović, A. (2020). Lipinski's rule of five, famous extensions and famous exceptions. *Popular Scientific Article*, 3(1), 171-177.
- Widiyana, A. P. (2021). Computation Design of Quinazoline-4 (3H)-on Derivatives as Cyclooxygenase-2 (COX-2) Inhibitor. *Jurnal Farmasi Sains dan Praktis*, 7(2), 163-170. doi: <https://doi.org/10.31603/pharmacy.v7i2.4827>.

